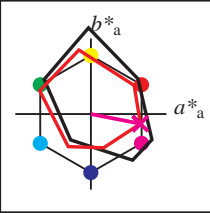


Ein- und Ausgabe: Drucker-Reflektiv-System FRS06a für relativen CIELAB-Bunnton  $h_{ab,a,rel} = h_{ab}/360 = 348/360 = 0.96$

$H^*_d = B50R_d$

Daten für jede Geräte- (d) oder Elementarfarbe (e):

$HIC^*_d$   
 Bunttext für die Farben dieser Seite:  
 $H^*_d = B50R_d$   
 Dreiecks-Helligkeit  $T^*$



**LRS18a; adaptierte CIELAB-Daten**

Name	$L^*=L^*_a$	$a^*_a$	$b^*_a$	$C^*_{ab,a}$	$h^*_{ab,a}$
R <sub>d,Ma</sub>	47.5	57.2	37.8	68.6	33
Y <sub>d,Ma</sub>	91.5	-15.8	84.6	86.1	100
G <sub>d,Ma</sub>	54.3	-67.6	30.8	74.3	155
C <sub>d,Ma</sub>	53.1	-30.0	-43.1	52.5	235
B <sub>d,Ma</sub>	32.5	16.9	-44.6	47.7	290
M <sub>d,Ma</sub>	48.1	65.4	-12.7	66.6	348
N <sub>d,Ma</sub>	23.8	0.0	0.0	0.0	0
W <sub>d,Ma</sub>	95.8	0.0	0.0	0.0	0
R <sub>d,CIE</sub>	39.9	58.7	27.9	65.0	25
Y <sub>d,CIE</sub>	81.2	-2.8	71.5	71.6	92
G <sub>d,CIE</sub>	52.2	-42.4	13.6	44.5	162
B <sub>d,CIE</sub>	30.5	1.4	-46.4	46.4	271

Daten für Maximalfarbe (Ma):

$LabCh^*_{d,Ma}$ : 48 65 -12 66 348

$HIC^*_{d,Ma}$ : B50R\_100\_100<sub>d</sub>

$rgbic^*_{d,Ma}$ :

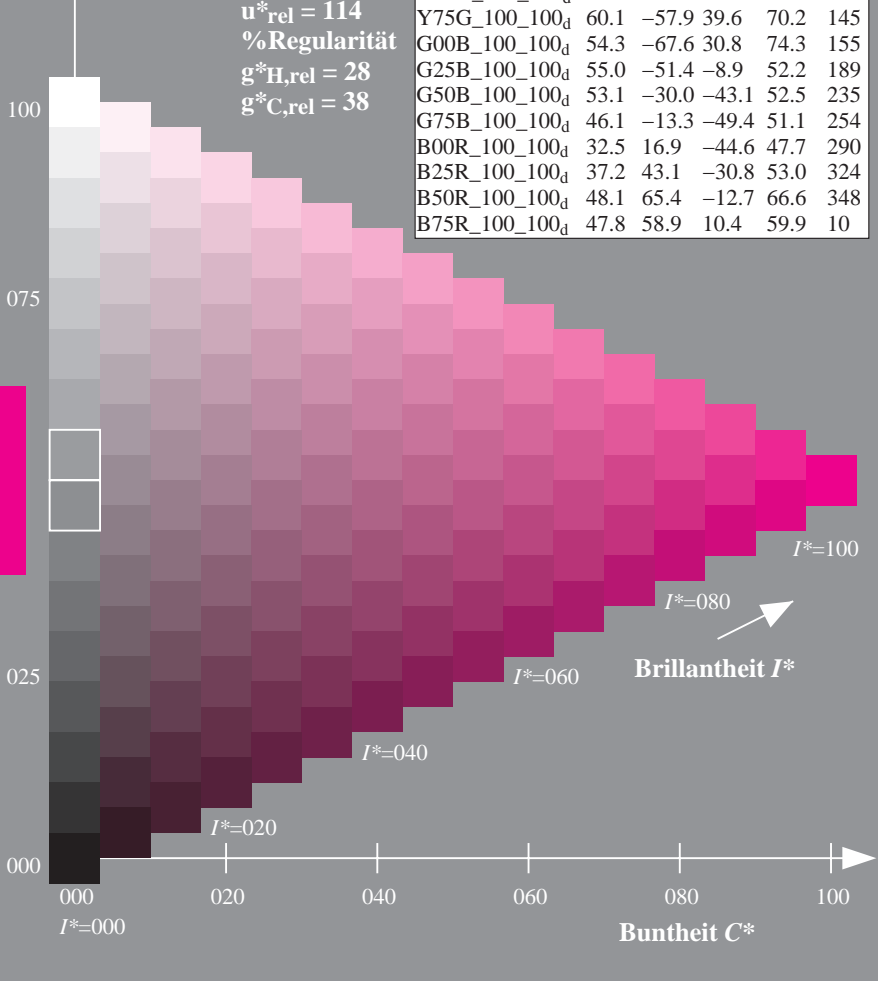
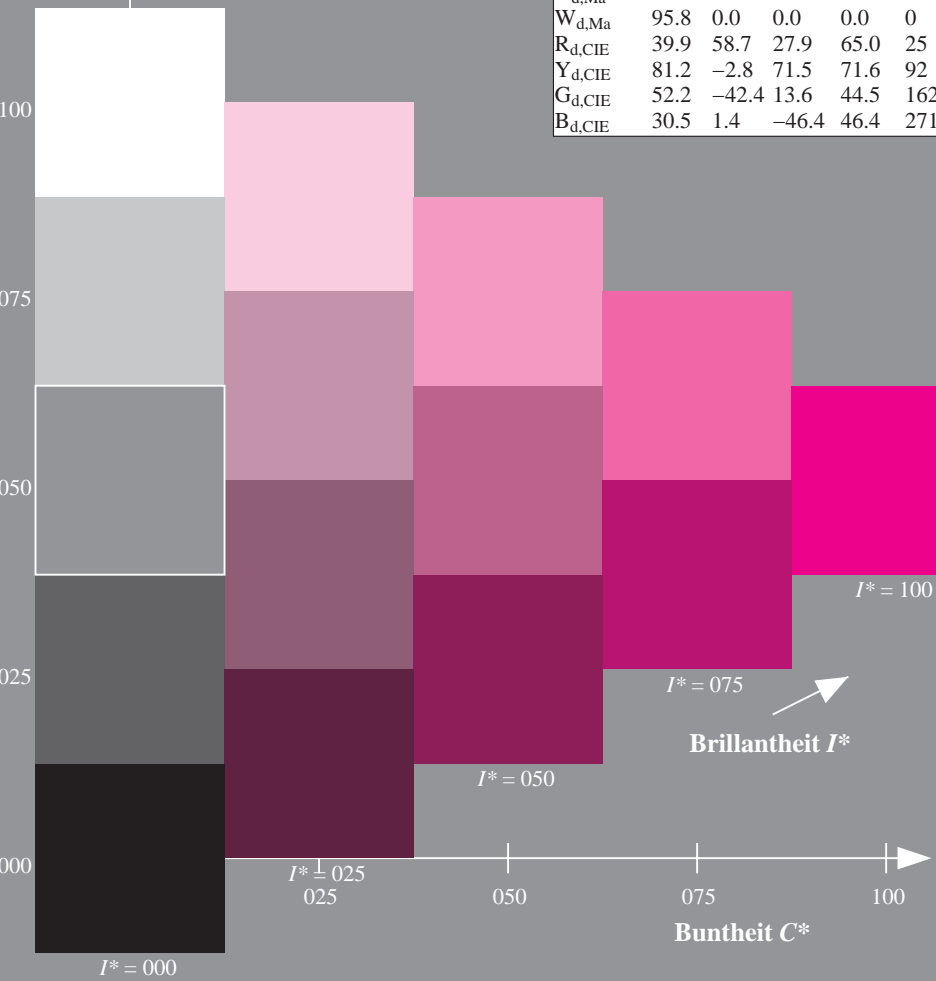
1.0 0.0 1.0 1.0 1.0

Dreiecks-Helligkeit  $T^*$

%Umfang  
 $u^*_{rel} = 114$   
 %Regularität  
 $g^*_H,rel = 28$   
 $g^*_C,rel = 38$

**LRS18a; adaptierte CIELAB-Daten**

$H^*_d$	$L^*=L^*_a$	$a^*_a$	$b^*_a$	$C^*_{ab,a}$	$h^*_{ab,a}$
R00Y_100_100 <sub>d</sub>	47.5	57.2	37.8	68.6	33
R25Y_100_100 <sub>d</sub>	57.4	43.5	54.5	69.7	51
R50Y_100_100 <sub>d</sub>	70.5	19.2	66.2	69.0	73
R75Y_100_100 <sub>d</sub>	83.5	-2.9	76.8	76.9	92
Y00G_100_100 <sub>d</sub>	91.5	-15.8	84.6	86.1	100
Y25G_100_100 <sub>d</sub>	90.4	-20.9	86.5	89.0	103
Y50G_100_100 <sub>d</sub>	70.9	-41.7	54.8	68.9	127
Y75G_100_100 <sub>d</sub>	60.1	-57.9	39.6	70.2	145
G00B_100_100 <sub>d</sub>	54.3	-67.6	30.8	74.3	155
G25B_100_100 <sub>d</sub>	55.0	-51.4	-8.9	52.2	189
G50B_100_100 <sub>d</sub>	53.1	-30.0	-43.1	52.5	235
G75B_100_100 <sub>d</sub>	46.1	-13.3	-49.4	51.1	254
B00R_100_100 <sub>d</sub>	32.5	16.9	-44.6	47.7	290
B25R_100_100 <sub>d</sub>	37.2	43.1	-30.8	53.0	324
B50R_100_100 <sub>d</sub>	48.1	65.4	-12.7	66.6	348
B75R_100_100 <sub>d</sub>	47.8	58.9	10.4	59.9	10

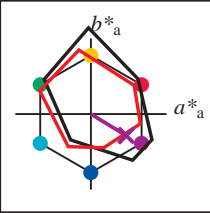


Ein- und Ausgabe: Drucker-Reflektiv-System FRS06a für relativen CIELAB-Bunnton  $h_{ab,a,rel} = h_{ab}/360 = 328/360 = 0.91$

$H^*_e = B50R_e$

Daten für jede Geräte- (d) oder Elementarfarbe (e):

$HIC^*_e$   
 Buntontext für die Farben dieser Seite:  
 $H^*_e = B50R_e$   
 Dreiecks-Helligkeit  $T^*$



**LRS18a; adaptierte CIELAB-Daten**

Name	$L^*=L^*_a$	$a^*_a$	$b^*_a$	$C^*_{ab,a}$	$h^*_{ab,a}$
R <sub>e</sub> ,Ma	47.5	56.0	26.7	62.1	25
Y <sub>e</sub> ,Ma	83.6	-3.1	76.8	76.9	92
G <sub>e</sub> ,Ma	53.8	-65.9	21.1	69.2	162
C <sub>e</sub> ,Ma	54.9	-38.7	-29.1	48.4	216
B <sub>e</sub> ,Ma	37.3	1.4	-48.6	48.7	271
M <sub>e</sub> ,Ma	38.5	46.7	-28.5	54.7	328
N <sub>e</sub> ,Ma	23.8	0.0	0.0	0.0	0
W <sub>e</sub> ,Ma	95.8	0.0	0.0	0.0	0
R <sub>e</sub> ,CIE	39.9	58.7	27.9	65.0	25
Y <sub>e</sub> ,CIE	81.2	-2.8	71.5	71.6	92
G <sub>e</sub> ,CIE	52.2	-42.4	13.6	44.5	162
B <sub>e</sub> ,CIE	30.5	1.4	-46.4	46.4	271

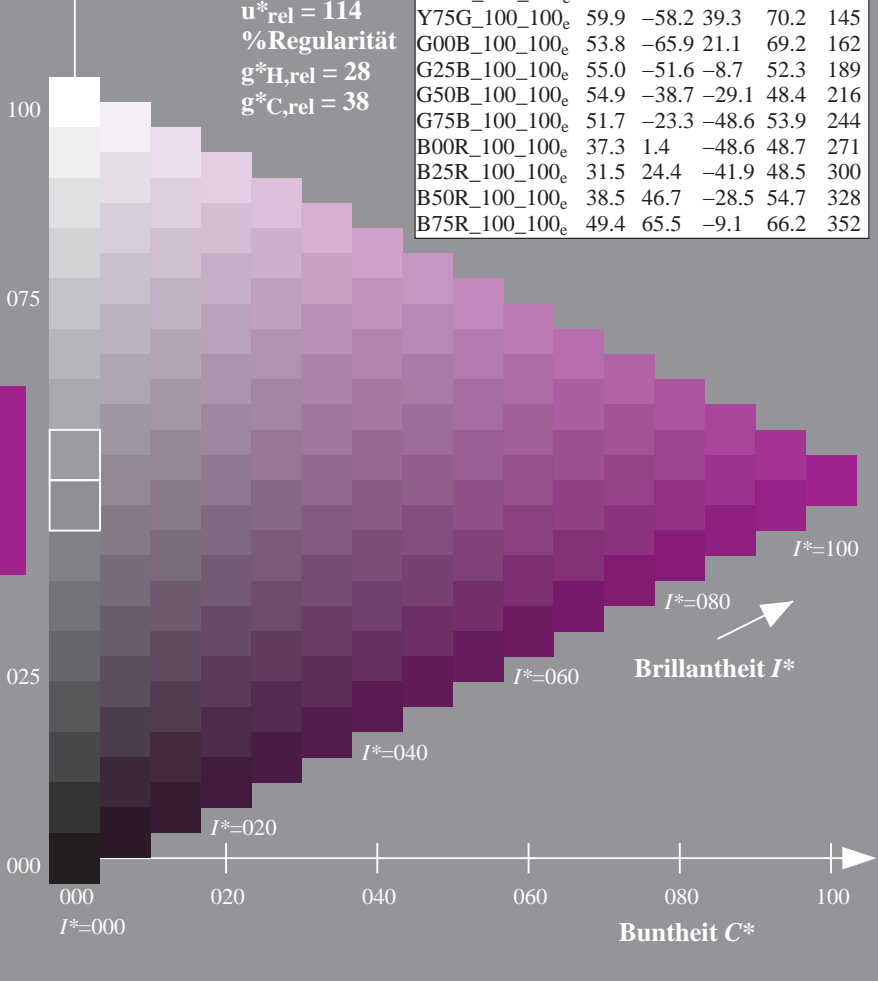
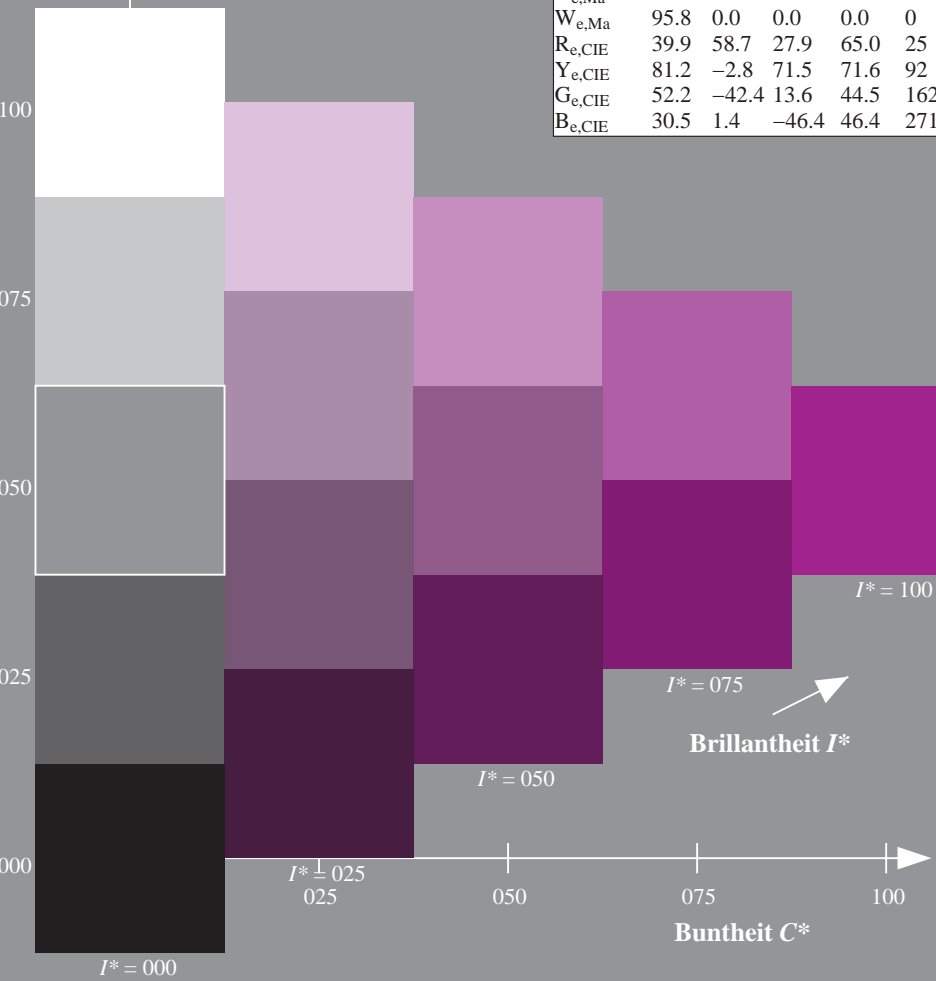
Daten für Maximalfarbe (Ma):

$LabCh^*_{e,Ma}: 38 \ 46 \ -28 \ 54 \ 328$   
 $HIC^*_{e,Ma}: B50R\_100\_100_e$   
 $rgbic^*_{e,Ma}: 0.58 \ 0.0 \ 1.0 \ 1.0 \ 1.0$

**LRS18a; adaptierte CIELAB-Daten**

$H^*_e$	$L^*=L^*_a$	$a^*_a$	$b^*_a$	$C^*_{ab,a}$	$h^*_{ab,a}$
R00Y_100_100 <sub>e</sub>	47.5	56.0	26.7	62.1	25
R25Y_100_100 <sub>e</sub>	51.4	54.8	47.7	72.6	41
R50Y_100_100 <sub>e</sub>	61.8	35.2	58.4	68.2	58
R75Y_100_100 <sub>e</sub>	72.3	16.1	68.2	70.1	76
Y00G_100_100 <sub>e</sub>	83.6	-3.1	76.8	76.9	92
Y25G_100_100 <sub>e</sub>	85.8	-26.4	78.5	82.9	108
Y50G_100_100 <sub>e</sub>	71.0	-41.7	54.8	68.9	127
Y75G_100_100 <sub>e</sub>	59.9	-58.2	39.3	70.2	145
G00B_100_100 <sub>e</sub>	53.8	-65.9	21.1	69.2	162
G25B_100_100 <sub>e</sub>	55.0	-51.6	-8.7	52.3	189
G50B_100_100 <sub>e</sub>	54.9	-38.7	-29.1	48.4	216
G75B_100_100 <sub>e</sub>	51.7	-23.3	-48.6	53.9	244
B00R_100_100 <sub>e</sub>	37.3	1.4	-48.6	48.7	271
B25R_100_100 <sub>e</sub>	31.5	24.4	-41.9	48.5	300
B50R_100_100 <sub>e</sub>	38.5	46.7	-28.5	54.7	328
B75R_100_100 <sub>e</sub>	49.4	65.5	-9.1	66.2	352

Dreiecks-Helligkeit  $T^*$   
 %Umfang  $u^*_{rel} = 114$   
 %Regularität  $g^*_{H,rel} = 28$   
 $g^*_{C,rel} = 38$

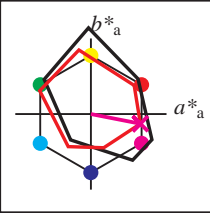


Ein- und Ausgabe: Drucker-Reflektiv-System FRS06a für relativen CIELAB-Bunnton  $h_{ab,a,rel} = h_{ab}/360 = 348/360 = 0.96$

$H^*_d = B50R_d$

Daten für jede Geräte- (d) oder Elementarfarbe (e):

$HIC^*_d$   
 Bunttext für die Farben dieser Seite:  
 $H^*_d = B50R_d$   
 Dreiecks-Helligkeit  $T^*$



**LRS18a; adaptierte CIELAB-Daten**

Name	$L^*=L^*_a$	$a^*_a$	$b^*_a$	$C^*_{ab,a}$	$h^*_{ab,a}$
R <sub>d,Ma</sub>	47.5	57.2	37.8	68.6	33
Y <sub>d,Ma</sub>	91.5	-15.8	84.6	86.1	100
G <sub>d,Ma</sub>	54.3	-67.6	30.8	74.3	155
C <sub>d,Ma</sub>	53.1	-30.0	-43.1	52.5	235
B <sub>d,Ma</sub>	32.5	16.9	-44.6	47.7	290
M <sub>d,Ma</sub>	48.1	65.4	-12.7	66.6	348
N <sub>d,Ma</sub>	23.8	0.0	0.0	0.0	0
W <sub>d,Ma</sub>	95.8	0.0	0.0	0.0	0
R <sub>d,CIE</sub>	39.9	58.7	27.9	65.0	25
Y <sub>d,CIE</sub>	81.2	-2.8	71.5	71.6	92
G <sub>d,CIE</sub>	52.2	-42.4	13.6	44.5	162
B <sub>d,CIE</sub>	30.5	1.4	-46.4	46.4	271

Daten für Maximalfarbe (Ma):

$LabCh^*_{d,Ma}$ : 48 65 -12 66 348

$HIC^*_{d,Ma}$ : B50R\_100\_100<sub>d</sub>

$rgbic^*_{d,Ma}$ :

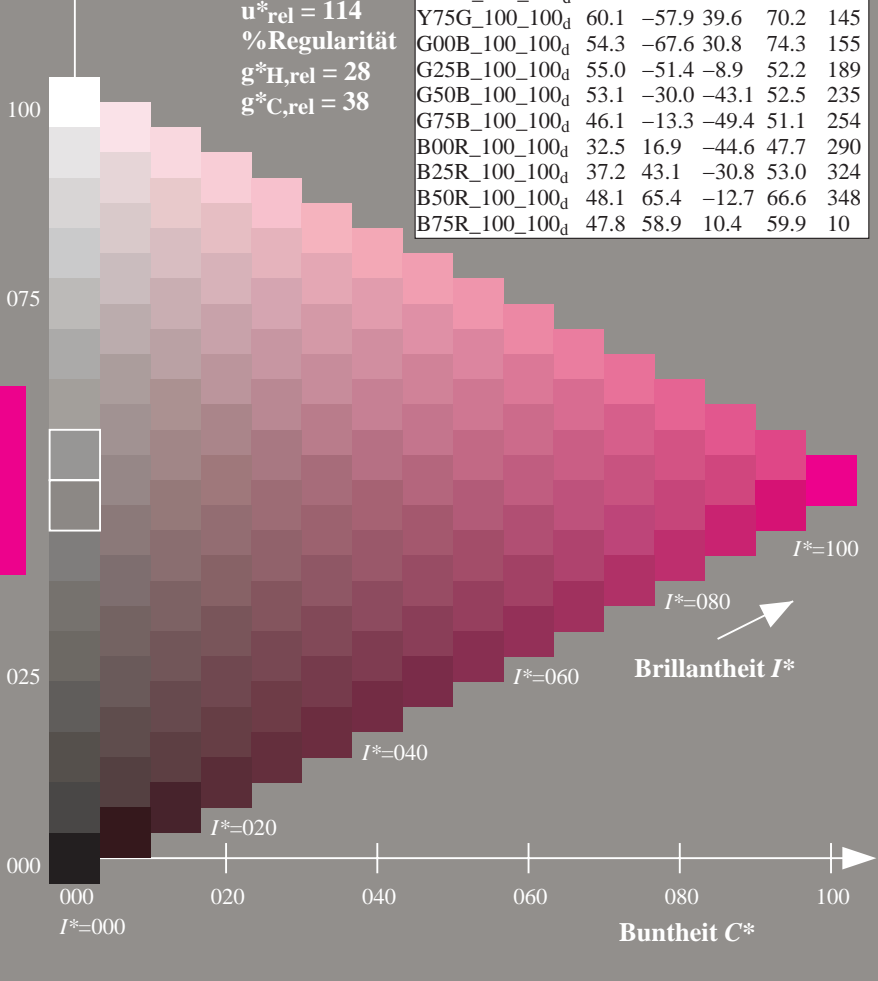
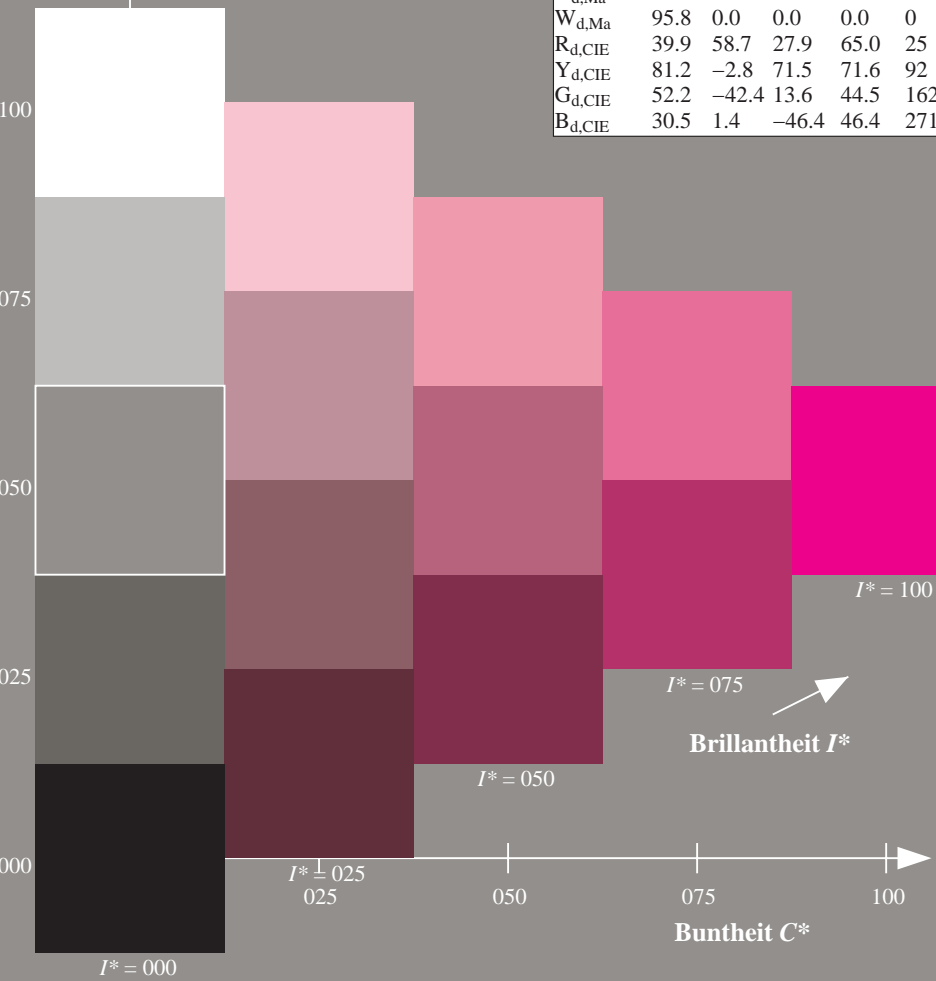
1.0 0.0 1.0 1.0 1.0

Dreiecks-Helligkeit  $T^*$

%Umfang  
 $u^*_{rel} = 114$   
 %Regularität  
 $g^*_{H,rel} = 28$   
 $g^*_{C,rel} = 38$

**LRS18a; adaptierte CIELAB-Daten**

$H^*_d$	$L^*=L^*_a$	$a^*_a$	$b^*_a$	$C^*_{ab,a}$	$h^*_{ab,a}$
R00Y_100_100 <sub>d</sub>	47.5	57.2	37.8	68.6	33
R25Y_100_100 <sub>d</sub>	57.4	43.5	54.5	69.7	51
R50Y_100_100 <sub>d</sub>	70.5	19.2	66.2	69.0	73
R75Y_100_100 <sub>d</sub>	83.5	-2.9	76.8	76.9	92
Y00G_100_100 <sub>d</sub>	91.5	-15.8	84.6	86.1	100
Y25G_100_100 <sub>d</sub>	90.4	-20.9	86.5	89.0	103
Y50G_100_100 <sub>d</sub>	70.9	-41.7	54.8	68.9	127
Y75G_100_100 <sub>d</sub>	60.1	-57.9	39.6	70.2	145
G00B_100_100 <sub>d</sub>	54.3	-67.6	30.8	74.3	155
G25B_100_100 <sub>d</sub>	55.0	-51.4	-8.9	52.2	189
G50B_100_100 <sub>d</sub>	53.1	-30.0	-43.1	52.5	235
G75B_100_100 <sub>d</sub>	46.1	-13.3	-49.4	51.1	254
B00R_100_100 <sub>d</sub>	32.5	16.9	-44.6	47.7	290
B25R_100_100 <sub>d</sub>	37.2	43.1	-30.8	53.0	324
B50R_100_100 <sub>d</sub>	48.1	65.4	-12.7	66.6	348
B75R_100_100 <sub>d</sub>	47.8	58.9	10.4	59.9	10

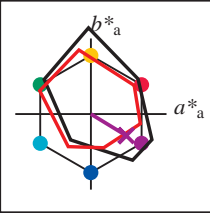


Ein- und Ausgabe: Drucker-Reflektiv-System FRS06a für relativen CIELAB-Bunnton  $h_{ab,a,rel} = h_{ab}/360 = 328/360 = 0.91$

$H^*_e = B50R_e$

Daten für jede Geräte- (d) oder Elementarfarbe (e):

$HIC^*_e$   
 Buntontext für die Farben dieser Seite:  
 $H^*_e = B50R_e$   
 Dreiecks-Helligkeit  $T^*$



**LRS18a; adaptierte CIELAB-Daten**

Name	$L^*=L^*_a$	$a^*_a$	$b^*_a$	$C^*_{ab,a}$	$h^*_{ab,a}$
R <sub>e</sub> ,Ma	47.5	56.0	26.7	62.1	25
Y <sub>e</sub> ,Ma	83.6	-3.1	76.8	76.9	92
G <sub>e</sub> ,Ma	53.8	-65.9	21.1	69.2	162
C <sub>e</sub> ,Ma	54.9	-38.7	-29.1	48.4	216
B <sub>e</sub> ,Ma	37.3	1.4	-48.6	48.7	271
M <sub>e</sub> ,Ma	38.5	46.7	-28.5	54.7	328
N <sub>e</sub> ,Ma	23.8	0.0	0.0	0.0	0
W <sub>e</sub> ,Ma	95.8	0.0	0.0	0.0	0
R <sub>e</sub> ,CIE	39.9	58.7	27.9	65.0	25
Y <sub>e</sub> ,CIE	81.2	-2.8	71.5	71.6	92
G <sub>e</sub> ,CIE	52.2	-42.4	13.6	44.5	162
B <sub>e</sub> ,CIE	30.5	1.4	-46.4	46.4	271

Daten für Maximalfarbe (Ma):

$LabCh^*_{e,Ma}: 38\ 46\ -28\ 54\ 328$

$HIC^*_{e,Ma}: B50R_{100_{100}_e}$

$rgbic^*_{e,Ma}: 0.58\ 0.0\ 1.0\ 1.0\ 1.0$

Dreiecks-Helligkeit  $T^*$   
 %Umfang  $u^*_{rel} = 114$   
 %Regularität  $g^*_{H,rel} = 28$   
 $g^*_{C,rel} = 38$

**LRS18a; adaptierte CIELAB-Daten**

$H^*_e$	$L^*=L^*_a$	$a^*_a$	$b^*_a$	$C^*_{ab,a}$	$h^*_{ab,a}$
R00Y_100_100 <sub>e</sub>	47.5	56.0	26.7	62.1	25
R25Y_100_100 <sub>e</sub>	51.4	54.8	47.7	72.6	41
R50Y_100_100 <sub>e</sub>	61.8	35.2	58.4	68.2	58
R75Y_100_100 <sub>e</sub>	72.3	16.1	68.2	70.1	76
Y00G_100_100 <sub>e</sub>	83.6	-3.1	76.8	76.9	92
Y25G_100_100 <sub>e</sub>	85.8	-26.4	78.5	82.9	108
Y50G_100_100 <sub>e</sub>	71.0	-41.7	54.8	68.9	127
Y75G_100_100 <sub>e</sub>	59.9	-58.2	39.3	70.2	145
G00B_100_100 <sub>e</sub>	53.8	-65.9	21.1	69.2	162
G25B_100_100 <sub>e</sub>	55.0	-51.6	-8.7	52.3	189
G50B_100_100 <sub>e</sub>	54.9	-38.7	-29.1	48.4	216
G75B_100_100 <sub>e</sub>	51.7	-23.3	-48.6	53.9	244
B00R_100_100 <sub>e</sub>	37.3	1.4	-48.6	48.7	271
B25R_100_100 <sub>e</sub>	31.5	24.4	-41.9	48.5	300
B50R_100_100 <sub>e</sub>	38.5	46.7	-28.5	54.7	328
B75R_100_100 <sub>e</sub>	49.4	65.5	-9.1	66.2	352

